

玻 璃 译 丛

第 七 輯

上海市硅酸盐学会編

上海市科学技术編译館

玻 璃 譯 丛

第 七 輯

上海市硅酸盐学会編

*

上海市科学技术編譯館出版

(上海南昌路 59 号)

中华书局上海印刷厂印刷 新华书店上海发行所发行

*

开本 787×1092 1/16 印张 3 12/16 字数 120,000

1965 年 6 月第 1 版 1965 年 6 月第 1 次印刷

印数 1—2,400

編号：15·295 定价：0.55 元

目 录

| | |
|--------------------------|----|
| 水对玻璃的作用..... | 1 |
| 銅紅玻璃中顏色形成的机理..... | 5 |
| 玻璃与金属的封接机理..... | 10 |
| 玻璃的特殊制取方法..... | 20 |
| 玻璃色釉印花的热轉印法..... | 24 |
| 熔融石英的加工..... | 27 |
| 現代玻璃鍍銀法的主要物理化学过程..... | 30 |
| 用作玻璃原料的碎玻璃..... | 33 |
| 粉料与熟料的配合比对玻璃机械性能的影响..... | 37 |
| 玻璃池窑的发展..... | 38 |
| 玻璃窑炉上燃油噴咀的选用..... | 44 |
| 影响鈦珐琅顏色的因素(續)..... | 49 |
| 文摘..... | 55 |

- 092 玻璃上霉菌的生长
- 093 气泡的移除速率
- 094 玻璃不均匀度的自动测定
- 095 基础玻璃組成与次要組份对碳-硫茶色玻璃顏色的影响
- 096 利用控制乳浊剂結晶法制造含氟乳浊玻璃
- 097 在玻璃熔制中采用硫酸銨作加速剂
- 098 二氧化錫在玻璃工业中的应用
- 099 利用稀土元素合成器皿玻璃及对其研究
- 100 用稀土氧化物着色的 $\text{SiO}_2\text{-CaO-Na}_2\text{O-K}_2\text{O}$ 系統玻璃
- 101 带透明导电薄膜的玻璃
- 102 无成型部流液洞池窑

水对玻璃的作用

土橋正二

当用玻璃容器贮存各种液体时，或者用玻璃仪器进行化学实验时，经常发生自玻璃中溶解出某些物质，从而引起种种弊害的不良现象。

因此，玻璃能否被水侵蚀的问题，在实际使用上也是一个非常重要的课题。这种性能称为玻璃的耐水性，有人在这方面进行过许多研究工作。

因玻璃中含有碱的成份（它非常容易移动，而且容易与水发生反应），所以当玻璃与水接触时，碱自然便会很容易被溶解出来，从而使溶液慢慢地变成碱性。于是表面层便被剥离下来，呈鳞片状凝胶悬浮于水中。

含有碱以外的其他金属氧化物的玻璃也是如此，即容易与水化合的金属氧化物含量愈多，则玻璃的耐水性也愈低。

特纳(Turner)等人对玻璃的耐水性与其成份的关系，进行过许多研究。

他们所用的玻璃组成是： $6\text{SiO}_2 \cdot (2-x)\text{Na}_2\text{O} \cdot x\text{RO}$ ，如将其中的 RO 随次替换为 CaO、BaO、MgO、ZnO、Al₂O₃、ZrO₂、TiO₂ 时，则玻璃的耐水性能按下列顺序降低：

$\text{ZrO}_2 > \text{Al}_2\text{O}_3 > \text{TiO}_2 > \text{ZnO} > \text{MgO} > \text{PbO} > \text{CaO} > \text{BaO}$

除玻璃的耐水性能以外，也有人提出了不少耐酸、耐碱及耐其他物质等性能的试验法，其中实际应用的有下列几种：

(一) 表面法

(1) 米留斯法(Mylius)：将样品玻璃容器中装满蒸馏水，在80°C下保持3小时后，用甲基红作指示剂进行滴定，根据每1分米²所溶出的碱量，按表1来分级。

(2) 西德玻璃工业协会法：将样品玻璃容器中盛满蒸馏水，在100°C下保持3小时后，按(1)项中的方法进行滴定，并按表2分级。

(3) 米留斯固有碱度试验法：用厚6毫米、长6厘米、宽3厘米的玻璃板为试样。用玻璃刀沿侧面划破，并小心地折断。将新断面浸入由0.5克四

碘萤光黄溶于1升被乙醚所饱和的水溶液中，1分钟后取出，用乙醚洗涤。然后将新断面上所生成的四碘萤光黄钠盐溶于少量水中，并与已知浓度的四碘萤光黄钠盐溶液进行比色测定。

表 1

| 等 級 | 毫克 $\text{Na}_2\text{O}/\text{分米}^2$ |
|-------------|--------------------------------------|
| I. 耐水性玻璃 | 0~15 |
| II. 抵抗性玻璃 | 15~45 |
| III. 硬质器皿玻璃 | 45~150 |
| IV. 软质器皿玻璃 | 150~600 |
| V. 劣质器皿玻璃 | 600 以上 |

表 2

| 等 級 | 毫克 $\text{Na}_2\text{O}/\text{分米}^2$ |
|-------------|--------------------------------------|
| I. 耐水性玻璃 | 0~50 |
| II. 抵抗性玻璃 | 50~150 |
| III. 硬质器皿玻璃 | 150~400 |
| IV. 软质器皿玻璃 | 400~1600 |
| V. 劣质器皿玻璃 | 1600 以上 |

(4) 米留斯风化碱度试验法：按上述(3)的方法制备试样。将切断生成的新断面，在180°C饱和的水蒸汽中放置7昼夜，然后用上述方法测定其游离碱量，并按表3进行分级。

表 3

| 耐久性顺序 | 每平方米的四碘萤光黄量(毫克) |
|-------|-----------------|
| 1 | 0~5 |
| 2 | 5~10 |
| 3 | 10~20 |
| 4 | 20~40 |
| 5 | 40 以上 |

(5) 维贝(Weber)，萨维尔(Sauer)法：用容积为100毫升的玻璃容器为试样，装满水，煮沸5小时后改装酸或碱溶液，再煮沸3小时，洗净并干燥后测定其重量的减量。

(6) 考伍德(Cawood)，英格利须(English)，

特納(Turner)法：①耐水性試驗：在容积为 500 毫升的玻璃容器中，装入 300 毫升水煮沸 2 小时，使其蒸发 200 毫升，然后用 1/100 当量的酸滴定殘留的溶液，求出溶解的碱量，并称量玻璃的減量。②耐酸性試驗：装入 250 毫升的溶液，只煮沸蒸发 100 毫升，将殘留溶液取出后蒸干，灼热后称量。

(7) 考伍德，英格利須，特納等加压釜法：在容积为 500 毫升的玻璃容器內，装入 250 毫升导电水，并将玻璃器放入加压釜中加热。在 4~5 分钟內使其溫度升到 183°C。然后在 180°C 下保持 3 小时，再使其在 1 小时內冷却到 20°C，測定玻璃容器的減量与溶液中的碱量。

(8) 考伍德，英格利須，特納等石蜡浴法：此法为耐碱性試驗。在容积为 500 毫升的玻璃試件中，装入 150 毫升 2 当量的苛性鈉溶液，裝上逆流冷凝器，放在 100°C 的石蜡浴中，于 3 小时后測定玻璃容器的減量与溶液中的碱含量。

(二) 粉末法

(1) 凱普勒 (Keppeler) 法：从粒度介于按 DIN 1171 号标准制定的 30 号篩与 50 号篩中間的玻璃粉中，取比重为 2.584 的部分称量 20 克試料，用酒精洗除附着的微細粉末，与 100 毫升水一同装入附有逆流冷凝器的硬质玻璃燒瓶內。在沸騰水浴上放置 5 小时后，将瓶內溶液过滤蒸干，再对殘渣进行称量。

(2) 西德玻璃协会法：从粒度为按 DIN 1171 号标准所制定的 12 号篩与 20 号篩中間的玻璃粉中，取比重为 2.5 的部分称量 20 克試料，用酒精将微粉末洗去，与 100 毫升水一同装入容积为 200 毫升的三角燒瓶內，裝上逆流冷凝器，放在保持 108°C 的盐类浴槽上。5 小时后，将瓶內溶液过滤蒸干，并进行称重。

(3) 丁布萊比(Dimbleby)，謬海德 (Muirhead)，特納法：試料为英国标准篩 20 与 30 篩孔中間的玻璃粉末。取 10 克放入 90 篩孔的白金网籠中，用酒精洗去微細粉末，干燥后称量。将装有玻璃粉末的白金网籠吊在装有 500 毫升沸騰的水或药品的石英燒杯中，使粉末完全浸入溶液內繼續煮沸 1 小时，然后将粉末取出，干燥后称重。

作耐水性試驗时，滴定所溶出的碱量。此外，还有簡易的試驗法，如使用盐酸那可汀的方法。所用的試剂是：将 1 份盐酸那可汀溶解在 1000 份热水中配成溶液。可将試剂保存在硬质玻璃燒瓶中。在試驗以前，須将玻璃容器样品依次用醋酸、水和酒精

洗淨，然后放入沸騰的水浴中。至样品与水的溫度一致时，再将預先用其他容器加热至該溫度的試剂移入此玻璃容器內，然后根据試剂变化的时间来判断好坏。特納与丁布萊比，按用此法測定的結果，划分等級如下：

- ① 在 10 分钟以內試剂溶液变浊的，为不良玻璃。
- ② 在 10 分钟后生成沉淀，并随着时间的延长而逐渐增加的，不宜用于作貯藏生物碱容器之用。
- ③ 在 15~20 分钟內生成針状結晶，而后經過 1 小时也不再增加的，为优质玻璃。
- ④ 經過 1 小时后，并不起任何变化的，为最优质玻璃。

辛普森(Simpson)的耐久性試驗法是：将玻璃样品放入 55°C 的水浴中，約以 2 小时为周期，对玻璃反复地进行潤湿与干燥，約經過 15~30 天后，则表面上呈朦朧雾状。利用这种变化的程度，来比較玻璃的耐久性。当然，玻璃的“履历”对这种試驗的結果是有一定影响的。在干燥状态下保存的，結果良好；在高湿度下保存的，結果不好。經过火抛光的玻璃，結果比較好；但是将此面加以研磨时，其耐久性就要变坏。經过酸处理的，耐久性增高，其中尤以硫酸的效果最为显著。

必須注意，不論用什么方法进行耐久性試驗，都必須充分考慮样品的形状(粉末状或块状等等)和它的“履历”，以便断定它的等級。

关于水对玻璃的作用的理論性研究，由于玻璃的結構十分复杂，所以过去只就比較简单的玻璃进行了一些研究，在一定程度上闡明了这种反应的机理。

铁茨(Tietze)认为，将玻璃粉末溶解于水时，溶出碱量与时间的关系曲綫呈阶段状。这是由于其表面被水侵蝕而生成的与基底玻璃不同的薄膜，被自玻璃溶出的碱所溶解或解胶，因而产生剥落的緣故。

济默(Zimmer)等发现，将玻璃浸漬在水中，用显微鏡測定其表面上生成的薄膜厚度的过程中，即使在溶解速度迅速增加的时候，薄膜并不消失。因而推断，薄膜中产生龟裂的現象可能是侵蝕速度急增所致。

伯格(Berger)在用干涉法測定将玻璃表面浸漬在水中所生成的薄膜厚度时，发现在溶解曲綫上有弯曲的玻璃的場合，其干涉色不明显，并且在溶液中悬浮着鱗片状的硅胶，因而得出了与铁耳施(Tielsh)相同的結論。

如上所述，关于玻璃溶解于水的机理，有以下两种解释：

(1) 第一种解释认为有水和硅胶膜生成。就是说，在碱类物溶出的同时，残留的硅酸也发生水和现象，从而形成凝胶状物质。水分子通过此层，并继续向深部侵蚀。

(2) 第二种解释认为是因单纯的碱置换而生成的现象。

以上两种学说，可以从下述实验得到证明。泽井等人用一种巧妙的方法，使不断流动的水流作用于玻璃，直接用显微镜来观测水对玻璃表面侵蚀的情况。实验装置如图1所示。图中(F)为厚橡胶环，夹在上下两块玻璃板(B)的中间。垫上铁板(H)、(G)，并用三根螺栓加紧。为便于用显微镜观察，上方玻璃板(B)用的是薄板，并用特制的铁环(I)轻轻的压住。当中放入切成适当长度的玻璃试样。为了使切面与上方玻璃板(B)紧密接触，利用橡胶片(C)将其托向上方。将已装入试样的装置固定在显微镜载物台上。自(D)处不断供给一定温度的蒸馏水，同时观察侵蚀情况。玻璃样品有 $\text{Na}_2\text{O}\cdot 1.3\text{SiO}_2$ ， $\text{Na}_2\text{O}\cdot 2\text{SiO}_2$ ，和 $\text{Na}_2\text{O}\cdot 3\text{SiO}_2$ 三种，都是非常易溶于水的钠硅2成份玻璃。

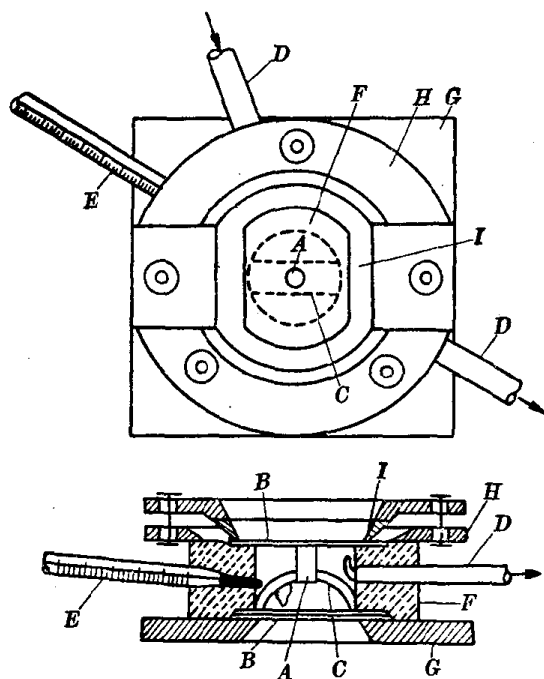


图 1

从研究结果得知，在玻璃表面上首先生成折光率不同的薄膜。此膜不断地增厚，而后剥裂露出新的破面，因此，溶解曲线呈现阶段式的弯曲。值得注意的现象是，薄膜内部不断地发生与玻璃面平行或垂直的裂纹（参见图2）。由于水容易通过裂纹向内部

渗透，所以使侵蚀速度急剧加大。

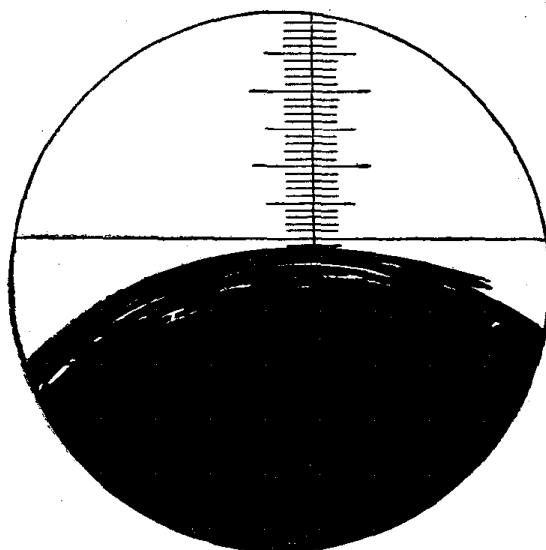


图 2

泽井等人还对玻璃进行了水浸，干燥，再水浸，再干燥的反复水作用试验。结果证明，反复作用比长枝进行的连续作用试验的侵蚀程度要严重得多。他们认为，水侵蚀时发生层状裂纹，而干燥时则生成纵向裂纹。干燥时由于水分蒸发，从而膜收缩现象增大，再加上由于表面蒸发而产生的曲折现象，致使具有抵抗侵蚀能力的硅酸薄膜几乎全部脱落。当再进行水浸时，受作用的仍然是新表面，因此，侵蚀现象非常严重。

森谷太郎研究了水对窗玻璃及碱硅酸盐玻璃粉末的溶解现象。他用 $1/50$ 当量的盐酸滴定自玻璃中溶出的碱量，得出了溶出碱原子的量(S)与时间(t)之间的关系：

$$S = at + b(1 - e^{-ct}) \quad (1)$$

式中， a, b 皆为常数。

他又进一步研究了碱溶出量与溶解温度之间的关系。溶出 Na_2O 量的对数与 $\frac{1}{T}$ 之间的关系如下：

$$\log S = a - \frac{b}{T} \quad (2)$$

$\log S$ 与 $\frac{1}{T}$ 的关系（如图3所示）并不成为一直线，而成为弯曲的2直线。他称 b 为溶出能。经计算，组成为 $20\% \text{Na}_2\text{O} \cdot 80\% \text{SiO}_2$ 的玻璃，在常温时为7卡，在 70°C 以上时，则为10卡。

泽井等人认为，玻璃向水中溶解的过程，在玻璃表面上会生成含有硅酸较多的薄膜。易溶性成份会通过此薄膜向水中逸出，同时又自水中侵入水分子或氢离子；这种相互扩散支配着侵蚀速度。假使扩

散物质在薄膜内部进行扩散所需要的能量(扩散的活化能)为 Q , 则侵蚀进度(或碱溶出量)的对数与绝对温度逆数的关系如下:

(1) 在薄膜剥裂以前为直线关系, 由此直线斜度所求得的能量为 $\frac{Q}{2}$ 。

(2) 侵蚀与薄膜剥裂同时进行时, 亦为直线关系, 此直线斜度为(1)的2倍, 即为 Q 。

(3) 如果只在高温下侵蚀时才发生剥裂, 有时亦成直线关系; 在高温下其斜度相当于(2)的情况, 在低温下, 则相当于(1)的情况。

泽井等人认为前述森谷太郎的研究, 乃是属于(3)的范围。

在高温高压下, 水蒸汽的侵蚀作用更为严重。根据清浦等人的报告, 用高压釜将组成为 $K_2O \cdot PbO \cdot 6SiO_2$ 、 $K_2O \cdot CaO \cdot 6SiO_2$ 的玻璃及含有 5% V_2O_5 的玻璃在 40~85 大气压、250~300°C 下处理 190~400 小时后, 则几乎所含 K 的半数流入水中。

作者用普通玻璃所做的实验也说明: 在 6 大气压及 16 大气压的条件下, 被侵蚀情况也要比在常温条件下严重得多。

(三) 热处理与耐水性

泽井和柳井等人的研究表明, 热处理可以使玻璃的耐水性发生变化。

凯普勒曾用一种冕牌玻璃所制造的烧瓶进行过试验。为了避免在徐冷过程中受气体的影响, 将烧瓶口熔融封闭后冷却, 然后充满水, 在 80°C 下加热 3 小时, 然后用米留斯法测定 Na_2O , 其结果如下:

| | Na_2O 毫克/米 ² |
|------|---------------------------|
| 徐冷者 | 42.5 |
| 未徐冷者 | 29.9 |

上田清曾将玻璃试片放在电炉中加热处理后把表面洗净, 在 60°C 的饱和湿气中放置 1 昼夜, 然后用米留斯法测定其表面的风化度, 所得的结果如下:

| | Na_2O 毫克/米 ² |
|--------------------|---------------------------|
| 原试料 | 19.8 |
| 在 500°C 下加热 15 分钟的 | 38.9 |
| 在 600°C 下加热 15 分钟的 | 42.2 |

上述实验说明, 徐冷玻璃的耐水性较未徐冷者要弱。由于在徐冷时受气体的作用, 实际情况与此会有很大的出入。这个问题已在《气体对玻璃的反应》一文中阐述过(详见本译从第四辑——译者注)。

中西健治曾用形状、尺寸和品质都相同的玻璃作为试样, 在 120°C 的干燥空气中进行种种不同时间的加热, 而后试验其耐水性。他发现: 在加热时间为 0, 100, 和 200 小时三种样品中, 加热时间愈长, 其耐水性愈大; 加热 200 小时的, 其耐水性要比未加热处理的大 3 倍(在 160°C 水中处理 5 小时时, 从每平方毫米玻璃表面溶入水中的碱量)。

图莱(Tooley)等人曾就 Na_2O 与 K_2O 比例的变化对玻璃在水中的溶解性进行过研究。其研究结果如图 3 所示。他们发现, 在 5% Na_2O 及 13% K_2O (CaO 为 10%, SiO_2 为 72%, 并均为一定值)时, 其溶出量最小。 Ca 的溶出量与 Na_2O 、 K_2O 含量无关, 大体上为一定值。

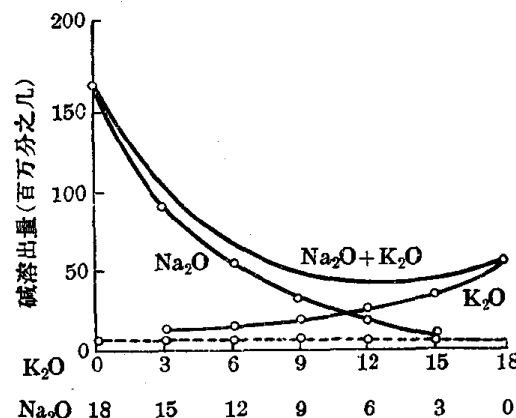


图 3

魏世魁译

《ガラスの表面化学》p.88~98

銅紅玻璃中顏色形成的機理

Atma Ram, S.N. Prasad

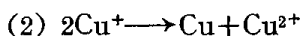
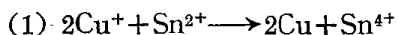
有關銅紅顏色的現有理論

銅紅玻璃是通過顯色得到紅色的。在顯色以前，玻璃几乎是無色的。一般認為，紅色是由於分散在玻璃中的金屬銅膠體顆粒的聚集体而產生的。這一點，銅紅顏色和金紅顏色是一樣的，即顏色的產生主要是由於光被金或銅膠體顆粒散射而引起的。

在解釋顯色時玻璃中形成銅聚集体的各種機理中，應注意下面幾點：

1. 在淬冷玻璃中，銅以銅原子的形式存在，並且銅原子使玻璃處於過飽和狀態。顯色時，銅原子形成膠體顆粒聚集体而引起紅色。

2. 在無色淬冷玻璃中，銅以亞銅離子的形式存在。顯色時，亞銅離子通過兩種方式形成銅原子：



這樣，銅原子便形成聚集体，並長大成膠體顆粒，從而產生紅色。

根據上述觀點，可以看出，在每一種情況下，顏色都是由於銅原子的聚集体而產生的，其差別僅在於形成聚集体的方式。有關這些聚集体形成的實驗論據是很不足的。埃倍爾(P.Ebell)認為，當硝酸銀溶液和銅金星玻璃細粉末作用時，有金屬銀沉淀。奧格爾(V. Auger)用冷氫氟酸處理金星玻璃時會觀察到金屬銅分離，因而認為在銅金星玻璃中以及

在銅紅玻璃中有金屬銅存在。但是，除了元素銅以外，當硝酸銀和氧化亞銅作用時也會產生金屬銀。同樣，用氫氟酸處理氧化亞銅，也會產生銅：



因此，埃倍爾和奧格爾的觀察不僅能表明元素銅的存在，而且也表明氧化亞銅的存在。

所以，以上試驗觀察顯然未能肯定銅紅玻璃的顏色來自金屬銅聚集体，而是在論據並不令人信服的情況下假定，這些玻璃，如同金紅玻璃中存在金顆粒、銀黃玻璃中存在金屬銀一樣，其顏色來自金屬銅。

作者對這些觀點的正確性有相當懷疑，因此，想在這方面簡略地論述一下自己的實驗觀察。

1. 當銅紅玻璃熔制條件是強還原時，玻璃不顯紅色，最多只能得到深灰紅色。如果顏色是由於淬冷玻璃中存在的銅原子在顯色時形成元素銅聚集的結果，則無論在多大還原條件下顏色都將產生，因為在更嚴重的還原條件下銅原子已不能再變化了。在熔制中，銅原子將被保留，並且一直是最有效的。

2. 如果銅原子存在於淬冷玻璃中，則它們將不被聯結在玻璃結構中。顯色時，銅原子只是長大些，而玻璃結構，與任何玻璃的正常熱處理情況相比，不會有任何明顯的變化。所以，淬冷玻璃的結構敏感性，與熱處理玻璃沒有本質上的差別。玻璃化學穩定性是這種性能之一。某些銅紅玻璃的化學穩定性

表 1 銅紅玻璃的組成和化學穩定性

| 玻璃編號 | 組成(從料粉中計算) | | | | | | | 化學穩定性(0.01N HCl 毫升數) | |
|------|------------------|-------------------|---------------------|-----|-----|-----|-----|----------------------|------|
| | SiO ₂ | Na ₂ O | CaO | SnO | CuO | Si | C | 淬冷 | 熱處理 |
| 1 | 71.7-y* | 20 | 8 | 0.3 | 0 | 0.2 | 0.1 | 8.4 | 8.3 |
| 2 | 71.7-y | 20 | 8-x ₁ ** | 0.3 | 0.5 | 0.2 | 0.1 | 8.7 | 9.4 |
| 3 | 71.7-y | 20 | 8-x ₂ | 0.3 | 1 | 0.2 | 0.1 | 8.9 | 9.6 |
| 4 | 71.7-y | 20 | 8-x ₃ | 0.3 | 2 | 0.2 | 0.1 | 8.8 | 10.1 |
| 5 | 71.7-y | 20 | 8-x ₄ | 0.3 | 4 | 0.2 | 0.1 | 9.1 | 11.1 |

* y 表示相當於 0.2 份 Si 的 SiO₂ 重量

** x₁, x₂, x₃, x₄ 表示相當於所用 CuO 的 CaO 重量

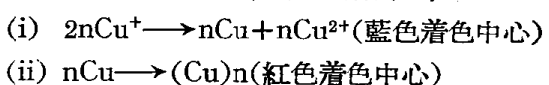
測試結果示于表 1，其結果是依据 5 克玻璃粉（-25 +35 BS 篩孔）于 100 毫升試液中用水浴煮沸 30 分钟后中和甲基橙顏色时所消耗 0.01 NHCl 的数量。这些玻璃是鈉鈣硅酸盐类型，并在大約 1400°C 还原条件下熔制的。試样用熔融玻璃澆成圓片状，任其在大气中冷却。热处理样品从这些圓片中剷取。

热处理以后的玻璃结构要比淬冷后的结构更加稳定。所以，玻璃经退火后，其化学稳定性会有所改进。但从表1可以看到，铜玻璃的化学稳定性在热处理后却会变坏。这一相反效果表明：玻璃结构中发生了促使钠离子迁移的变化。根据以上所述，如果淬冷玻璃中含有铜原子，则这种变化不会发生。因此，元素铜不可能存在于淬冷玻璃中。

根据上述两种观点，必須排除由于淬冷玻璃中存在的銅原子聚集而产生紅色的可能性。此外，在淬冷玻璃中还存在何种物质可以产生顏色呢？紅色的产生对熔制时还原性的程度是很敏感的。很可能銅在淬冷玻璃中以亞銅离子存在，特別是因为它們和玻璃都是无色的。用淬冷玻璃中存在亞銅离子的假設，可以而且已經解釋了化学稳定性的測量結果。

3. 其他两种机理是基于淬冷玻璃中存在亚銅离子的假定，但是却难以說明显色时的变化。根据理論之一，錫的存在是必要的。沒有錫时，淬冷玻璃中存在的亚銅离子在显色时不会变成銅，因而得不到紅色。但是作者认为，在鈉硼硅酸盐或 $\text{Na}_2\text{O}\cdot\text{B}_2\text{O}_3$ 玻璃料粉中，用不加錫的分析試剂化合物也可以产生鮮艳的銅紅顏色。勃朗 (Brown) 和諾而頓 (Norton) 也觀察到这一点。

4. 并不精确知道一个聚集的銅顆粒中的銅原子数量,但是,銅原子的半徑是 $1.24\sim1.28\text{\AA}$ 。假定銅顆粒的大小和金紅玻璃中金顆粒同样大(即直徑 $100\sim600\text{\AA}$),則一個銅顆粒将由許多銅原子組成。淬冷玻璃中亞銅離子产生这些銅原子的康尼查來(Cannizzare)反应亦产生相应的銅離子。



由于許多許多銅原子才能形成一個銅顆粒，因而銅離子是紅色着色中心數字的 n 倍， n 可能是几千。這樣，顯然藍色着色中心的數字比紅色着色中心的數字要大得多。當這兩種不同的着色中心存在於同一玻璃中時，玻璃的最終顏色將是藍色和紅色的結合，呈灰紅色。但是事實上却產生了鮮紅色，如某含銅 0.09%（以 CuO 計）的玻璃透射曲線所示（見圖 1 中 G_1 ）。這與顯色時凍冷玻璃由亞銅離子進行

康尼查来反应的预期结果是背道而驰的。这个观点的支持者还曾假设铜离子是很弱的着色剂。与此相反，作者认为铜离子完全是强着色剂，至少比原来想象的着色力大十倍。红色和蓝色着色中心并存的玻璃的最终颜色可以通过透射曲线看出（见图1中G₂）。该曲线是用样品厚度相同的G₁和仅含0.05% CuO的铜蓝玻璃结合起来得到的。G₂的透射率比G₁的小得多，同时，红色组份也减弱很多。这样，由淬冷玻璃中通过康尼查来反应存在亚铜离子而产生铜红色的可能性也必须加以排除。

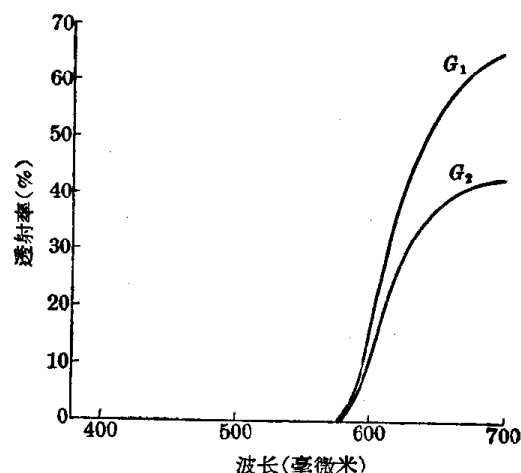
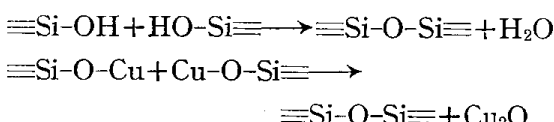


图 1 铜红钠钙硅酸盐玻璃在单独时(G_1)和与铜蓝玻璃结合时(G_2)的透射率曲线

作者关于銅紅顏色起因的看法

从前面的討論可以看出，沒有一种观点能够恰当地解釋銅紅顏色产生的机理。作者最近根据早期工作的測定結果和試驗觀察得出了以下結論：銅紅玻璃中的顏色是由于淬冷玻璃显色时形成的氧化亞銅而产生的。根据上面討論的間接試驗数据，作者认为淬冷玻璃中含有亞銅离子，而沒有銅原子。亞銅离子以 $\equiv \text{Si}-\text{O}-\text{Cu}$ 方式存在于淬冷玻璃中，与水以 $\equiv \text{Si}-\text{O}-\text{H}$ 方式存在于玻璃中相同。显色时形成氧化亞銅的方式和玻璃在真空中加热时形成水的方式相同。



当氧化亚铜颗粒达到一定的大小和充分的数量时，就可以得到鲜艳的红色。玻璃的颜色，从紫到深红，取决于颗粒的数量和大小。

上面關於作為顏色中心的 Cu_2O 形成機理的假設能滿意地解釋各研究者們所做的實驗觀察，而不與前面的討論有任何矛盾。這和矽紅玻璃中產生紅

色的方式有些类似。后者是在显色时形成由硫化銻組成的紅色着色中心，并由于这些顆粒的吸收而产生紅色的。

作者这种关于銅紅玻璃中顏色起因的观点，得到了林氏(Masakazu Hayashi)和图納(Turner)与洛克斯貝(Rooksby)的支持。林氏观察到氧化亚銅薄膜在560~580毫微米外呈現吸收带。这一点和銅紅玻璃吸收特征相同(图2)。銅紅玻璃在这一区域具有吸收峰。图納和洛克斯貝在用X射綫衍射技术对古代銅紅玻璃的研究中发现，在有些試样中存在氧化亚銅。同时，在埃倍尔和奥格尔所研究的玻璃中同样发现有氧化亚銅和金属銅存在。

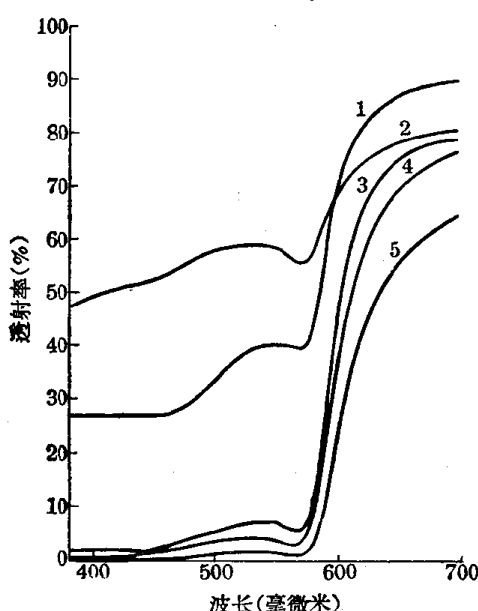


图2 銅紅玻璃透射率曲綫

1和3—鈉鈣硅酸盐玻璃含0.09% CuO,于550°C热处理10分钟(厚度分别为0.3和2.2毫米);
2和5—鈉硼酸盐玻璃含0.24% CuO, 分别于400°C淬冷和于550°C热处理10分钟; 4—与5相同,但有较少还原剂

氧化亚銅胶体

在菲林(Fehling)試驗中, 氧化亚銅是用葡萄糖在碱介质中将銅盐还原而成。为了防止剛形成的氧化亚銅顆粒聚集, 这个反应应在明胶存在时进行(这时可得到鮮紅色的胶体溶液)。将20毫升菲林溶液(由含34.639克含水硫酸銅的500毫升溶液和含173克洛歇爾盐和125克氫氧化鉀的500毫升溶液各10毫升混成)与40毫升明胶溶液(8克/100毫升)混合, 并在約95°C水浴中保持1分钟。然后, 将18毫升葡萄糖溶液很快地加入混合液, 并在热水浴中放4分钟后立即在冰中冷却。再加入10毫升明

胶溶液, 并将混合液保持在抽空并密封的容器中, 以防止氧化亚銅发生氧化。这种黃橙色的溶液經過3~4天便可变成鮮紅色。将制得的紅色胶体溶液过滤分离出橙紅色的沉淀渣。将溶液在真空中透析, 并进一步用电泳法純化。移出濃縮在阳极臂处的紅色胶体颗粒。将一部份用4000轉/分离心分离5小时, 有些胶体物质便可以被分离。这种溶液是乳浊的, 在显微鏡下仅能以反射光檢驗。其顏色范围从粉紅到血紅色, 并微带多色性。有时可以看出表明颗粒为氧化亚銅組成的不規則的各向异性。也曾用X射綫檢驗試样, 发现其主要組成为氧化亚銅, 但是也有一些金属銅存在的征兆(表2)。葡萄糖将菲林溶液还原成Cu₂O而不成Cu。为了找出葡萄糖和明胶是否可将Cu₂O还原成Cu, 須将用于菲林溶液反应的葡萄糖比例增加一倍以上, 并且反应時間和溫度也应增加。

表2 紅胶体颗粒X射綫衍射数据

| d(A) | I/I ₁ |
|-------------|------------------|
| 3.03 | 2 |
| 2.46 | 7 (很寬的帶) |
| 2.13 | 9 |
| <u>2.09</u> | 8 |
| <u>1.82</u> | 8 |
| 1.51 | 3 |
| 1.39 | 4 |
| 1.28 | 3 |
| 1.34 | 4 |
| 1.17 | 2 |
| <u>1.09</u> | 1 |
| <u>1.07</u> | 0.5 |

下划綫者为存在Cu; 其余存在Cu₂O

在加入50毫升明胶的情况下, 将葡萄糖的数量从18毫升增加到40毫升, 并且将溶液煮沸時間从4分钟增长到10分钟, 煮沸后立即分离, 則唯一的还原产物是Cu₂O; 煮沸后六天分离, 則得到Cu和Cu₂O的混合物; 14天以后进行分离, 則只能发现Cu(表3)。随着Cu₂O还原成Cu, 溶液顏色从紅色变成黃褐色。于是, 可以看出, 立即还原的产物是Cu₂O, 但是在过量葡萄糖和明胶共同存在时, 如果接触保持6~14天, 則Cu₂O可以还原成Cu。然而, 这一还原所需的葡萄糖数量, 要比用于制备紅色胶体溶液时增加一倍以上。同时, 溫度是較高的, 持續時間也是較长的。

表 3 还原产物X射线衍射数据
 [20毫升菲林溶液+40毫升葡萄糖溶液(1.5克/100毫升)+50毫升明胶(8克/100毫升)——煮沸10分钟，并将产物分离]

| d(A)* | I/I ₁ | 1 煮沸后立即分离 | | 2 煮沸后6天分离 | | 3 煮沸后14天分离 | |
|-------|------------------|--------------|------------------|--------------|------------------|---------------|------------------|
| | | d(A)† | I/I ₁ | d(A)‡ | I/I ₁ | d(A)‡ | I/I ₁ |
| 3.04 | 0.3 | | | | | | |
| 2.47 | 10 | 2.45 | 10B | | | | |
| 2.13 | 7 | 2.09 | 9 | 2.07 | 10 | | |
| | | 1.81 | 3 | 1.79 | 6 | | |
| 1.50 | 8 | 1.51 | 1 | | | | |
| 1.28 | 8 | 1.28 | 1 | 1.27 | 7 | | |
| 1.23 | 1 | | | | | | |
| 1.07 | 0.2 | 1.09 | 1 | 1.09 | 9 | | |
| 0.98 | 6 | | | 1.04 | 4 | | |
| 0.95 | 5 | | | 0.83 | 3 | | |
| 0.87 | 5 | | | 0.81 | 3 | | |
| 0.82 | 5 | | | | | | |

* 所有各行都表明存在Cu₂O;

† 三行(划横)表明存在 Cu, 其余三行是 Cu₂O;

‡ 所有各行都表明存在 Cu

吸收测定

含氧化亚铜的红色胶体的视觉颜色与铜红玻璃物体(如饰器, 信号透镜, 平板等)相同。颜色定量测定采用Hardy GE记录型分光光度计。从透射率曲线(图3)可以看出, 在所有情况下都存在着林氏所

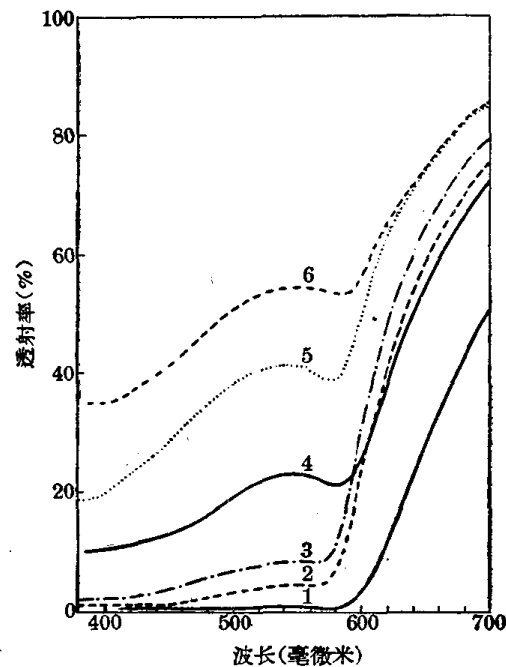


图 3 胶体氧化亚铜溶液透射率曲线

1~3—原始溶液；4—1号溶液稀释约10倍；5—3号溶液稀释约13倍；6—2号溶液稀释约16倍

提供的Cu₂O薄膜中560~580毫微米处的吸收峰。这些曲线和铜红玻璃的相同(图2)。由于在水溶液系统中和玻璃中的颜色特性相同, 因而铜红玻璃中的颜色是由分散在玻璃中的胶体Cu₂O颗粒的吸收性, 而不是由金属铜聚集体的存在而产生的。

金属铜胶体

在制备胶体氧化亚铜时曾发现, 如果用过量的葡萄糖, 则当它与作用剂长时期接触时, 最初形成的Cu₂O便会被还原成金属铜(见表3)。这一作用对制备金属铜胶体是有用的。通过适当地调节作用剂的比例, 作用时间和温度, 以及作用剂接触的时间, 可以获得颜色为灰黄到黄褐的金属铜胶体溶液。将20毫升菲林溶液(和用于制备胶体Cu₂O溶液的强度相同)和40毫升明胶溶液(8克/100毫升)混合, 并在约95°C水浴中浸渍1分钟。然后, 很快地加入40毫升葡萄糖溶液(1.5克/100毫升), 并在热水浴中放4分钟后, 将混合液很快地在冷水中淬冷。再加入10毫升明胶溶液。将溶液倒入一端封闭的抽空并密封的大管子中。于是, 最初微呈黄橙色的混合物, 在30天左右便会变成灰黄色。将它过滤, 并把滤液在真空中透析, 然后用电泳法进一步纯化。将浓缩在阳极室的胶体移出并进行离心分离。分离的胶体颗粒有金属铜光輝。将其用X射线检验, 可发现它是由金属铜组成, 并含有痕量Cu₂O(见表4)。

表 4 有金属铜光輝的胶体颗粒的X射线衍射数据

| | d(A) | I/I ₁ |
|---|------|------------------|
| 1 | 1.81 | 5 |
| 2 | 2.10 | 10 |
| 3 | 2.48 | 0.5 |

第1和第2两行是金属铜最强的, 其高强度值表明Cu存在; 第3行是Cu₂O, 但其微弱强度值表明只有痕量Cu₂O存在

铜胶体的视觉颜色为灰黄色到黄褐色, 颜色的深浅取决于胶体的厚度。这一颜色和由于在强还原条件下熔制或在高于适当的显色温度进行热处理而被破坏的铜红玻璃的颜色相同。不同稀释程度的胶体透射率值可用Hardy GE分光光度计测定(图4)。可以看出, 并不存在作为Cu₂O的特征的在560~580毫微米处的吸收峰。而且, 在强还原条件下熔制的被破坏的铜红玻璃的透射率曲线(图4)和胶体铜的曲线相同。被破坏的铜红玻璃, 由于其颜色与水

溶液中胶体铜产生的颜色相类似，因而它的灰黄到黄褐色很可能是由于金属铜的存在而产生的。

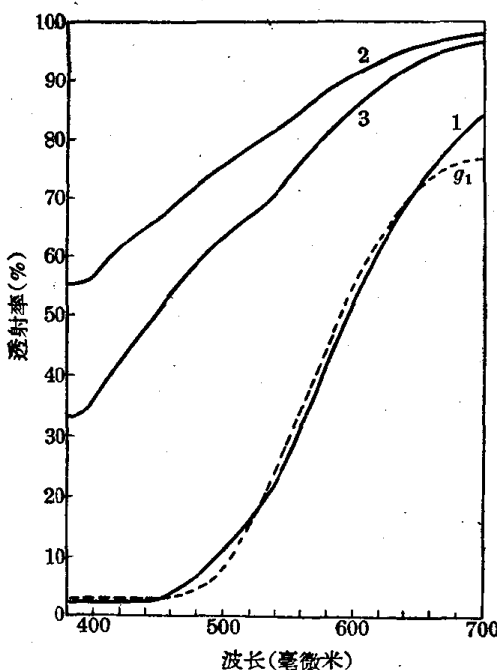


图 4 胶体铜溶液和被破坏的铜红玻璃的透射率曲线

g₁—强还原条件下熔制的被破坏的铜红玻璃；
1—胶体铜溶液；2—1号溶液稀释约13倍；
3—1号溶液稀释约7倍

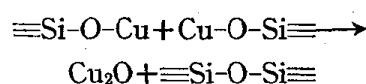
现在可以理解为什么在强还原条件下熔制铜红玻璃料粉时所产生的是破坏颜色而不是鲜红色了。在这种情况下，料粉中的氧化铜大多数被还原成元素铜，而亚铜离子很难存在于淬冷玻璃中。因此，Cu₂O的形成是不可能的，因而也得不到红色。显色时，由元素铜形成的金属铜聚集体将引入其特征颜色（灰黄色到黄褐色）。在氧化亚铜红色胶体溶液中也可看出同样的特性。如前所述，当用过量葡萄糖并增加作用温度和时间的强还原条件时，溶液的红色便会变成黄褐色。这是由于Cu₂O还原成Cu而产生的（表3）。这样，在铜红玻璃和水介质氧化亚铜红色胶体溶液中，金属铜的形成会在过度还原条件下使红色遭到破坏，而变成灰黄色到黄褐色。

作者也曾观察到，仅在适当的还原条件下，当接近于适当的熔制阶段时，才能制得鲜红色的玻璃。这一适当阶段以淬冷玻璃出现微草黄色为标志。在熔制早期阶段，加于料粉中的氧化铜会还原成Cu⁺

离子。进一步熔制，则会使Cu⁺还原成金属铜。形成金属铜的开始可以用出现微草黄色作为标志（它也可标志亚铜离子的消失）。这种玻璃在显色时会产生鲜红色。

結論

铜红玻璃中的红色是由于分散在玻璃中的胶体氧化亚铜颗粒的光吸收，而不是由于金属铜聚集体的存在而产生的。这说明了淬冷玻璃中含有亚铜离子，而不是金属铜。显色时，Cu⁺离子以≡Si-O-Cu存在，以利于氧化亚铜的形成，氧化亚铜聚集成各种大小的颗粒。按照热处理制度的温度和时间的不同，会产生微红色到深红色玻璃。



这一观点得到下列观察的证实：

1. 水介质中胶体氧化亚铜溶液是鲜红色的；其颜色和吸收特征与铜红玻璃相同。
2. 在Cu₂O薄膜的吸收光谱中存在560~580毫微米处的吸收峰值，也同样存在于铜红玻璃中。
3. 水介质中胶体铜溶液是灰黄色到黄褐色。在玻璃中，它所引入的颜色是灰黄色到黄褐色，而不是红色。
4. 在各种古老的铜红玻璃样品中，发现有Cu₂O。

有金属铜的红色玻璃可以通过高温显色制得。这时，较低温度所形成的Cu₂O，主要分解成金属铜，少量未分解的Cu₂O，由于其强着色作用，足以将红色引入玻璃。但是，在大量元素铜存在时，可能不足以被X射线发现。

在强还原条件下熔制时铜红玻璃的被破坏，说明氧化亚铜被还原成金属铜（金属铜将灰黄色引入玻璃）。铜红玻璃也会由于在高于适宜的温度下显色而被破坏。这是由于氧化亚铜热分解，形成金属铜，氧化亚铜的红色变成了黄褐色。

馬繼麟譯 袁怡松校
«Advances in Glass Technology» p. 256~269

玻璃与金属的封接机理

池 田 豊

要获得良好的玻璃-金属封接，需要满足许多基本要求，其中最主要的有以下两点：

- (1) 玻璃与金属的热膨胀相配合，在玻璃中不产生有害应力。
- (2) 玻璃对金属有良好润湿，并且很好地溶合在一起。

第(1)点的技术发展已有较久的历史，且在论及玻璃和金属封接时必然会涉及到这一问题，因此本文只讨论关于玻璃与金属的“溶合”问题。

玻璃与金属的溶合

关于溶合的研究

现在一般认为，玻璃与金属的溶合与金属表面氧化物的形式有关。

一般来讲，洁净的金属与玻璃通常是不易溶合在一起的。例如，在充分脱水的氩气流中，即使将玻璃和金属加热到玻璃的软化温度以上，玻璃也不容易流到金属表面上。然而，如果在氧化气氛中使金属表面生成氧化物，则玻璃便很容易地润湿金属，并且在某些情况下玻璃可以克服重力作用爬上金属表面相当高处。因此，在玻璃与金属封接的场合，通常是使金属表面氧化，因而封接技术也称为氧化技术。

可是，另一方面，并不是所有金属都必须形成氧化物才能与玻璃封接的。例如，白金便能与软质玻璃很好地封接。对这种情况，有人认为是由于白金在受热时不会形成氧化膜；也有人认为在白金表面形成的薄到难以检验出的氧化层起了封接的作用。此外，也有人认为，铁和玻璃封接也不一定需要氧化。

现把历来研究者提出的关于玻璃与金属封接的机理的各种学说介绍如下：

(1) 机械结合论

这种说法，根据玻璃的珐琅质与经过酸洗和沙喷作用的铁能牢固地接合在一起这一事实，认为玻

璃包围着铁表面的突起部分并渗入凹坑，从而机械地牢固结合。

这一假说认为，表面的凹凸程度对封接有影响。这点在显微观察中没有得到确证；并且也有表面光滑的铁能象表面粗糙的铁一样与玻璃牢固封接。因此，这一假说是没有根据的。

(2) 树枝状结晶论

在向铁板喷涂搪瓷料后进行干燥烧熔的场合，铁的表面便会氧化。这种氧化物在搪瓷中一經溶解后，便分解析出 α 铁。这种 α 铁便在表面上析生长。这一学说便是根据铁表面析出的树枝状晶体来解释搪瓷与铁的牢固结合。

这一学说认为，即使搪瓷只处于数分钟的熔融状态， α 铁已经析出。而 α 铁的树枝状结晶的存在，在显微镜和X射线的检验中已得到证实。

(3) 电 解 论

电化序高的金属，同处于饱和溶液的场合一样，可以将熔融状态的玻璃中的电化序低的金属进行置换。根据这点，认为玻璃基质珐琅中的氧化镁和氧化铝，在铁板表面溶解扩散，与铁置换，且在铁表面上析出，从而把这点作为封接的基础。

这一假说与搪瓷不能与在电化序上较铁高的铬很好地封接、而能与电化序较低的铜很好地封接这一事实相矛盾。再者，这种假说认为，在玻璃与铁之间可以没有氧化物中间层存在，但实际上，并没有不存在氧化物中间层的证据。

(4) 氧化物层论

在珐琅质融结以前，铁的表面便会氧化。这种氧化物不断溶解在珐琅质中，直到珐琅与铁直接接触为止。随后溶解在珐琅质中的二氧化碳和氧便把铁表面氧化，结果形成由二价的氧化铁构成的氧化物层，这一氧化物层便是封接的基础。

直到现在，对于玻璃与金属封接机理的解释，几

乎都认为是氧化物层起中介作用。

溶合的必要条件

封接物的密封性取决于构成封接物的金属和玻璃材料以及由封接加工技术所形成的封接界面状态。

除由于金属本身的“坑”、“裂缝”和玻璃材料自身的裂纹所引起的影响以外，能影响玻璃与金属溶合的，并为获得良好密封性所必需的因素有下列几点：

(1) 玻璃

玻璃要充分熔融脱泡。在封接时，不应由于加热而在封接界面形成气泡。

(2) 金 属

金属表面应平滑，不应有使玻璃不能润湿的条痕、斑点和表面粗糙。

(3) 金属热处理

1. 金属用氩处理或真空处理，以充分除气。
2. 金属表面层充分脱碳。
3. 通过热处理使晶粒生长适度。

(4) 金属的氧化

1. 金属氧化物要致密。
2. 金属与金属表面氧化物要牢固粘结。
3. 氧化物层的厚度要均匀一致。

(5) 封接时的加热

加热要均匀，要使接触的玻璃和金属的各部位同时融接。

(6) 氧化物熔解入玻璃中

1. 氧化物和玻璃的熔解扩散要容易进行。
2. 氧化物熔入玻璃后，对玻璃的性质没有太大的影响。

(7) 溶合中间层

1. 中间层中的玻璃和金属要很好地溶合在一起。
2. 所形成的中间层必须不成为产生有害应力的因素。

金属的氧化机理

金属氧化机理，是影响玻璃与金属溶合的最重

要的因素，也是阐明封接理论、讨论封接技术的最重要的问题。

氧化反应速度

控制氧化速度的因素 金属在高温下氧化时，控制反应速度的因素是：金属与氧的结合速度，这些元素离解为离子而进入氧化物层的速度，以及在氧化物层中扩散的速度。前两项表示表面反应速度，后一项表示扩散速度。显然，氧化速度是被这些因素中的慢的一个所控制。

(1) 表面反应是控制因素时 表面反应时，温度不变则氧化速度不变。氧化物重量用 m 表示，时间用 t 表示，则 m 与 t 的关系由下式表示(即氧化与时间成线性关系)：

$$dm/dt = A$$

式中，

A ——常数。

(2) 扩散速度是控制因素时 假定氧化物层的两个表面上的反应物浓度为一定，则在一定温度下扩散速度由扩散离子的浓度梯度决定。由于浓度梯度与膜层的厚度成反比(以 x 表示厚度)，则扩散速度 dx/dt 与 x 成反比，因此可得出下式：

$$dx/dt = A/x$$

$$\therefore x^2 = 2At$$

式中，

A ——常数。

即氧化物层的厚度与 t 的平方根成正比地增大。普遍用作封接材料的费尔尼可铁钴镍合金(20~30Ni, 20~40Co, 余量 Fe) 和科伐铁钴镍合金 (29 Ni, 17Co, 0.2Mn, 余量 Fe) 大致按这一方法则而氧化。

氧化速度和温度 影响氧化速度的因素很多，但温度是最重要的因素。

氧化是通过氧化物层的金属离子和置换的氧的扩散程度来控制的。这种扩散程度以比扩散阻的值来表示。比扩散阻受温度影响的情况如表 1 所示。

表 1 金属的比扩散阻

| 金属 | 温度(°C) | 比扩散阻 |
|----|--------|---------|
| 铁 | 800 | 2,200 |
| | 900 | 310 |
| 铜 | 800 | 10,500 |
| | 900 | 2,800 |
| 镍 | 800 | 430,000 |
| | 900 | 42,000 |
| | 1,000 | 950 |

氧化速度和容积变化 金属氧化所引起的容积变化对金属的氧化速度有影响。如在形成氧化物时容积减少而不形成致密层，则氧化速度成直线；如容积增大，则成抛物线。但实际上这一见解所不能说明的情况也很多。表 2 是有代表性的金属在氧化时发生的容积变化值。

表 2 金属氧化物的致密性

| 金属 | 氧化物 | M_d/mD |
|----|--------------------------------|----------|
| Mg | MgO | 0.85 |
| Al | Al ₂ O ₃ | 1.38 |
| Zn | ZnO | 1.41 |
| Ni | NiO | 1.64 |
| Cu | Cu ₂ O | 1.71 |
| Mn | Mn ₂ O ₃ | 1.75 |
| Fe | Fe ₃ O ₄ | 2.10 |
| Fe | Fe ₂ O ₃ | 2.16 |
| Mo | MoO ₃ | 3.01 |
| W | WO ₃ | 3.50 |

M —氧化物分子量

D —氧化物比重

m —氧化物一分子中的金属原子量之和

d —金属比重

氧化速度和氧化增量 金属的氧化速度受温度的影响，并随时间的增加而不断氧化。在各种温度下科伐的氧化增量与氧化时间的关系示于图 1。

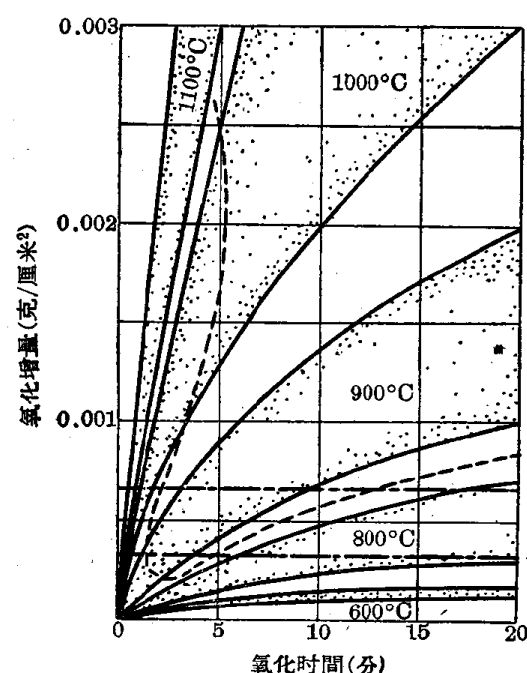


图 1 科伐的氧化时间和氧化增量

从图 1 可以看出，钴是按抛物线方式氧化的。图中两条平行的破折线之间的范围是有良好的氧化

复膜的，而 V 形虚线所包括的范围则是氧化膜容易脱落的范围。

氧化物的组成和性质

与封接有关的氧化物 用于封接的主要金属氧化物的成份如表 3 所示。

表 3 与封接有关的金属氧化物

| 金属 | 組成 | 金属表面氧化膜的組成 | 在玻璃封接物中熔解成的氧化物 |
|-----|-----------------------------|--|--|
| 鎢 | W | WO ₃ , WO ₂ , W ₄ O ₁₁ | WO ₃ , WO ₂ , W ₄ O ₁₁ , Na _x WO ₃ |
| 钼 | Mo | MoO ₃ , MoO ₂ | MoO ₂ |
| 镍 | Ni | NiO | |
| 铁 | Fe | Fe ₂ O ₃ , Fe ₃ O ₄ , FeO | |
| 铬 | Cr | Cr ₂ O ₃ | |
| 镍铁 | { Ni 50 Fe 50 } | Fe ₂ O ₃ FeO·Fe ₂ O ₃ +NiO·Fe ₂ O ₃ | 主要是 Fe ₃ O ₄ |
| 镍铬铁 | { Ni 42 Cr 6 Fe 52 } | FeO·Fe ₂ O ₃ +NiO·Fe ₂ O ₃ +NiO·Cr ₂ O ₃ | 主要是 Fe ₃ O ₄ +Cr ₂ O ₃ |
| 铬铁 | { Cr 26 Fe 74 } | Cr ₂ O ₃ +Fe ₂ O ₃ | Cr ₂ O ₃ +Fe ₂ O ₃ 或 Cr ₂ O ₃ +Fe ₃ O ₄ |
| 科伐 | { Ni 29 Co 17 Fe 54 } | Fe ₃ O ₄ | 主要是 Fe ₃ O ₄ |
| 铜 | Cu | CuO, Cu ₂ O | Cu ₂ O |

各种金属在封接时并不是必定生成一种氧化物，例如钨便形成如表 4 所示的许多种类的氧化物。

表 4 钨的氧化物

| 氧化物 | 色泽 |
|--|-----------|
| WO ₃ | 黄色 |
| WO ₃ +W ₂ O ₅ (W ₄ O ₁₁) | 深青色 |
| W ₂ O ₅ (W ₄ O ₁₁) | 深青色或带青的紫色 |
| WO ₂ +W ₂ O ₅ (W ₄ O ₁₁) | 紫褐色 |
| WO ₂ | 巧克力褐色 |
| WO ₂ +W | 黑褐色 |
| W | 灰黑色 |
| W | 灰色 |
| W | 有金属光泽的灰色 |

氧化物的组成和氧化温度 在许多情况下，当金属的氧化温度改变时，则生成的氧化物便不同。

例如，铜在高溫下氧化，一般生成 Cu₂O 和 CuO。在与玻璃封接时，需要形成牢固粘合的 Cu₂O 复膜。图 2 是铜在氧气中氧化时 CuO 和 Cu₂O 的比率与氧化温度的关系。

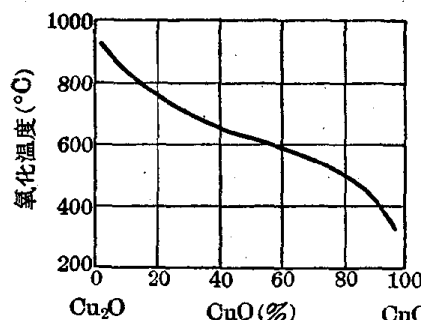


图 2 铜的氧化物组成与氧化温度的关系

氧化复膜层的构成 金属的氧化物复膜并不一定要保持均一的組成。一般来讲，在表面层和在与金属接触的部分的成份是不同的。

铁在 750~1050°C 下强氧化时，其表面氧化层是由如表 5 所示的三层构成的。

表 5 铁表面氧化层的构成

| | Fe(%) | FeO(%) | Fe ₂ O ₃ (%) |
|-----|-------|--------|------------------------------------|
| 表面层 | 71.6 | 21.3 | 78.7 |
| 中間层 | 75.5 | 71.4 | 28.6 |
| 内面层 | 76.5 | 84.1 | 15.9 |

但是，也有人认为，在金属內側是低价氧化物，在外側是高价氧化物，在这两者之間是連續的中間固溶体。

氧化物的致密性 金属氧化物的致密性，在氧化物作为封接物的剩留中間层的情况下，是影响密封性的重要因素。有代表性的金属氧化物的致密性如表 2 所示。

氧化物的热膨胀 金属氧化物的热膨胀系数

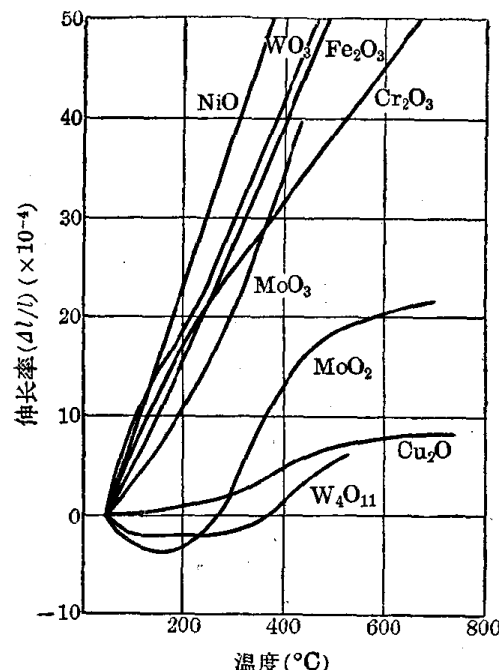


图 3 金属氧化物的热膨胀曲綫

与金属本身不同。这与氧化层的致密性有关，并且也受氧化速率的影响。有代表性的封接用的金属氧化物的热膨胀曲綫如图 3 所示。

氧化物的粘附性 金属与它的表面氧化物的良好粘合，是保证密封的一个重要因素。当金属氧化物与金属粘附不良时，无论表面氧化物与玻璃有多么好的潤湿，也不能保持密封性。

检验粘附性的一个简便方法是，把玻璃紙帶粘贴在試样的表面，然后把它剝下，观察試样上的氧化膜有没有被粘下来。

图 4 是使用这种方法来检验科伐的氧化复膜的粘附性的結果。图中的纵座标是試样的氢处理溫度，横座标是氧化增量(表示試样在 750°C 空气中氧化时的氧化程度)。曲綫的下部区域是密封性良好的範圍。曲綫 a 是經压延后的試样板，曲綫 b 是試样經氧化后用濃盐酸除去锈皮而使表面粗糙的試样板。

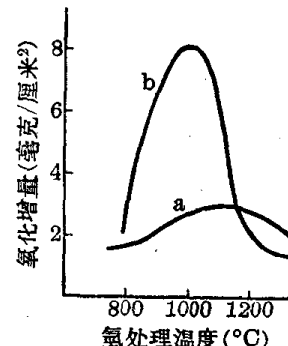


图 4 科伐的表面氧化物的粘附性

(1) 氧化增量过大 (即复膜过厚)，則粘附性不佳。

(2) 氢处理溫度过高或过低，則氧化物的粘附性都不佳。

(3) 底料上凹凸均匀，則粘附性良好。

在铜的氧化表面上，CuO 的缺陷是不能与其下层的 Cu₂O 很好地粘附。因此，在将它用于杜米特 (デミット) 线等場合时，要预先在硼酸銨溶液中浸漬后在空气中加热，使形成紅黑色的 Cu₂O，然后才能使用。

在使用鎢的情况下，则先在金属表面上形成粘附性好的 WO₂，使表面层生成与玻璃有良好潤湿的 WO₃，而在中間层則必須是 W₂O₅、W₄O₁₁ 等中介物。

氧化物的結晶学攷察

金属的氢处理和晶粒粒度 在进行封接氧化

之前，通常把金属置于氢气流中加热处理，以达到表面净化和表面层脱碳的目的。这时的处理温度对金属结晶的粒度有重大影响。

图 5 是科伐的氢处理温度与晶粒粒度的关系。图中所示的粒度值，是试样在以 20°C 的水饱和的氢气流中，在所定温度下于加热炉中保温 15 分钟的情况下，从电子显微照片上计算出的晶粒平均直径值。图 5 表明，在某一温度以上，晶粒粒度便急剧增大。

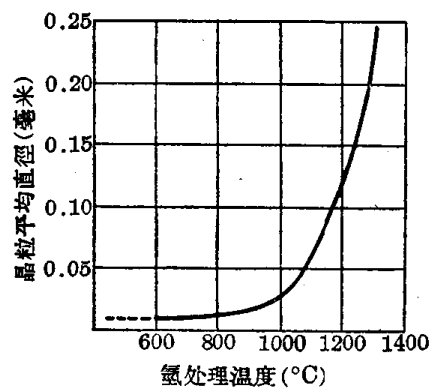


图 5 科伐的氢处理温度和晶粒粒度

晶粒粒度和氧化速度 金属的氧化速度受晶粒大小的影响。图 6 是通过不同温度的氢处理而得到不同晶粒大小的 3 种科伐试样，在空气中 750°C 下氧化时的氧化增量和氧化时间的关系。

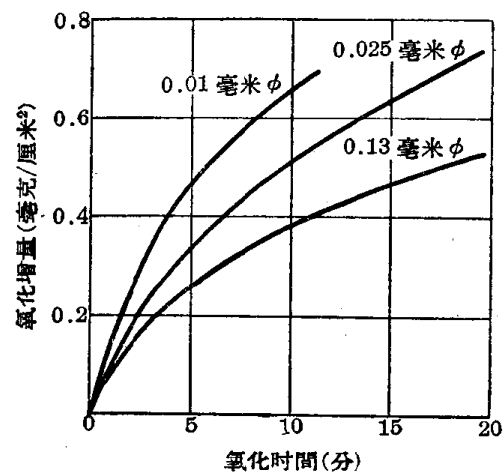


图 6 科伐的晶粒粒度和氧化增量

从晶粒边界的氧化 科伐的晶粒边界较晶粒内部易于氧化。在氧化的初期，几乎只有晶粒边界发生氧化。这种在晶界上形成的氧化物，在逐渐向上隆起的同时，也向横向扩展，结果使晶粒内也均匀地氧化。

图 7 是在 1200°C 下经 15 分钟氢处理后在 750°C 的空气中进行瞬时氧化的科伐的表面状态照片。图

中，a 是用金相显微镜拍摄的放大 50 倍的照片。它清楚地显示出科伐的结晶晶粒。b 是用电子显微镜放大约 2000 倍的照片。照片中清楚显示出晶粒边界上氧化隆起的状态。

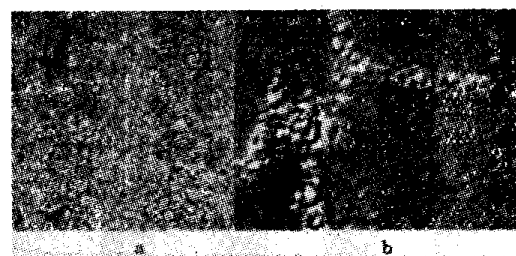


图 7 科伐从晶粒边界上的氧化

氧化物的晶粒结构

(1) 氧化温度和晶粒形状

科伐在空气中的氧化是以 800°C 附近为界，在高温侧形成凸角的多面体氧化物，在低温侧形成海绵状氧化物。

图 8 a 是在 600°C 下氧化后形成的海绵状氧化物表面的照片；b 是在 900°C 下氧化后形成的多面体结晶表面的照片（都是用电子显微镜放大 2000 倍拍摄的）。根据 X 射线衍射的结果，发现氧化物晶粒的方向性与氧化温度间有明显的关系。在膜较薄的情况下，晶面的方向容易一致；随着氧化温度上升，晶粒的取向便变为不规则性。

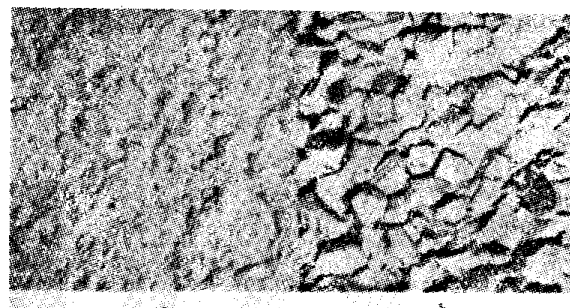


图 8 科伐的表面氧化物晶体

(2) 氧化物的晶粒结构

在空气中于 600~1000°C 氧化的科伐中，都有尖晶石型氧化物和赤铁矿型氧化物。其生成形态是差不多相等的合金的 (100)、(110) 和 (111) 三种晶面，且随着温度增高，赤铁矿型氧化物会减少。微束 X 射线分析证实了晶粒边界较晶粒内易于形成尖晶石型氧化物。图 9 是在 1000°C 氧化后的科伐表面上 (100) 面的微束 X 射线衍射照片。箭头所指的是赤铁矿型氧化物的特征线，其他是尖晶石型氧化物的特征线。